

УДК 534.8:535.5

## ОСОБЕННОСТИ ОПТИКО-АКУСТИЧЕСКОЙ ДИАГНОСТИКИ ОБЪЕМНЫХ ДЕФЕКТОВ МЕТАЛЛОВ

В. Г. ГУДЕЛЕВ, Г. В. КУЛАК, А. Г. МАТВЕЕВА  
УО «МОЗЫРСКИЙ ГОСУДАРСТВЕННЫЙ ПЕДАГОГИЧЕСКИЙ  
УНИВЕРСИТЕТ им. И. П. Шамякина»  
Мозырь, Беларусь

Оптико-акустические источники ультразвуковых (УЗ) волн имеют ряд преимуществ перед традиционными: отсутствие контакта со средой, возможность простого изменения геометрических параметров акустической антенны, диагностики объектов, движущихся с любой скоростью [1]. В настоящее время ведутся исследования особенностей рассеяния УЗ волн на поверхностных и объемных дефектах различной формы: сферических, цилиндрических, плоских (трещин) и др. [2, 3]. На рис. 1 представлена упрощенная схема возбуждения, рассеяния и приема объемных УЗ волн в твердом теле.

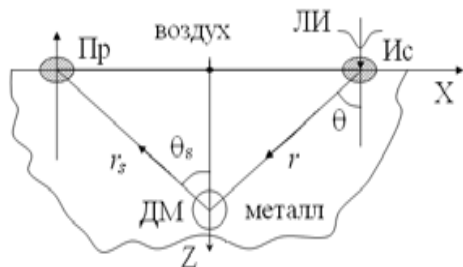


Рис. 1. Схема оптико-акустической диагностики объемного дефекта круглой формы (сфера, цилиндр): ЛИ – лазерный импульс; Ис – область источника; Пр – область приемника; ДМ – дефект материала;  $\theta$  – угол падения;  $\theta_s$  – угол рассеяния;  $r$  – расстояние от источника до дефекта;  $r_s$  – расстояние от дефекта до приемника

Источник УЗ волн имеет вид полоски прямоугольной формы или круглого сечения [4]. Лазерный импульс длительностью  $\tau$  распространяется вдоль оси  $Z$  и вызывает давление  $P_f$  на поверхности твердого тела по механизму лазерной абляции [1]. Для расчетов ограничиваются дальней зоной дифракции на круглом или прямоугольном отверстии в области источника. При этом для исследования рассеяния на шаровых дефектах предпочтительнее использовать источники круглой формы, а при диагностике цилиндрических дефектов – источники прямоугольной формы. При этом образующая цилиндра параллельна одной из сторон прямоугольника возбуждения. Отметим, что при оптико-акустическом преобразовании длительность акустического импульса  $\tau_a$  несколько превосходит длительность лазерного [1]. При интенсивностях света  $I_0 \geq 10^7 - 10^8 \text{ Вт/см}^2$  давление на поверхность металла составляет величину  $P_f \sim 10-100 \text{ МПа}$  [1].

Импульс УЗ смещений имеет ширину полосы  $\Delta\Omega \sim 1/\tau_a$  и центральную частоту  $\Omega_0 \sim \Delta\Omega$ . В режиме лазерного испарения на свободной поверхности металла образуется область площадью  $\pi R^2$  для круглого источника и  $a \times b$  для прямоугольного. Частотный спектр акустического импульса имеет гауссово распределение. Учитывается частотный и угловой спектр продольной  $\tilde{U}_l(\Omega, \theta)$  и сдвиговой  $\tilde{U}_s(\Omega, \theta)$  УЗ волны. С использованием метода функций Грина [1–3] найдены амплитуды рассеяния УЗ волн на шаровом (заполненном), сферическом (пустом) и соответствующем заполненном и пустом цилиндрическом дефекте.

Численные расчеты проводились для продольной и сдвиговой УЗ волны и материала, выполненного из стали ( $Fe$ ). При этом полагалось, что  $P_f = 10$  МПа,  $R = 3$  мм,  $a = 3$  мм,  $b = 9$  мм; длина цилиндрического дефекта  $l = 9$  мм (вдоль оси  $Y$ ). В качестве заполнителя использовался магний ( $Mn$ ).

На рис. 2 представлена временная форма ( $\tilde{\tau} = t - r/v_l$ ) рассеянного акустического импульса на пустом (а) и заполненном (б) дефекте цилиндрической формы для углов падения и рассеяния  $\theta = \theta_s = 10, 15$  и  $20$  град.

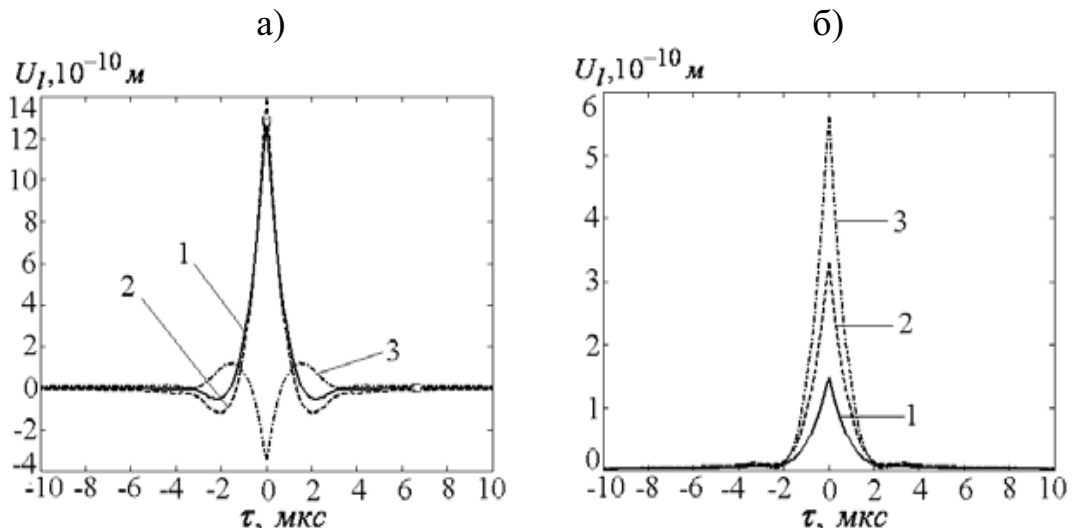


Рис. 2. Зависимость амплитуды рассеянного импульса  $U_l$  от времени  $\tilde{\tau}$  для пустого (а) и заполненного (б) дефекта при различных углах  $\theta$ : 1– $10^\circ$ , 2– $15^\circ$ , 3– $20^\circ$  ( $r = r_s = 10$  мм,  $\theta = \theta_s = 10^\circ$ ,  $R = 3$  мм,  $a = 3$  мм,  $b = 9$  мм,  $l = 9$  мм)

Из (рис. 2, а) следует, что при  $\theta=20^\circ$  импульс опрокидывается; для заполненного дефекта (рис. 2, б) с увеличением угла падения – амплитуда и длительность рассеянного импульса увеличивается.

Аналогичные зависимости для больших углов падения и рассеяния представлены на рис. 3.

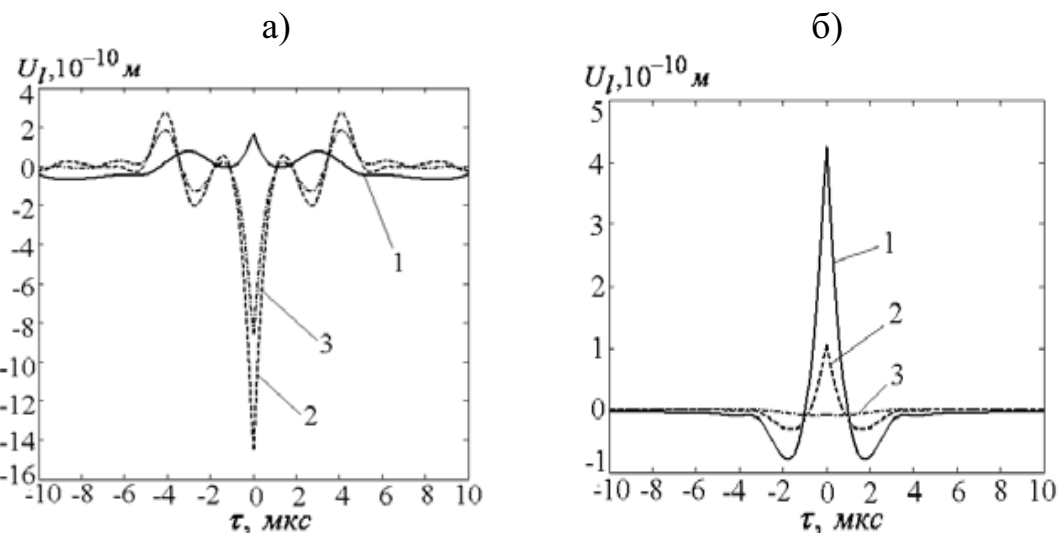


Рис. 3. Зависимость амплитуды рассеянного УЗ импульса  $U_l$  от  $\tilde{\tau}$  для пустого (а) и заполненного (б) дефекта при различных углах  $\theta$ : 1–65°, 2–75°, 3–85° ( $r = r_s = 10$  мм,  $\theta = \theta_s$ ,  $R=3$  мм,  $a = 3$  мм,  $b = 9$  мм,  $l = 9$  мм)

Из (рис. 3, а) следует, что при изменении угла падения и рассеяния форма рассеянного импульса существенно трансформируется вплоть до полного отсутствия выраженного центрального пика. Для заполненного дефекта отсутствие центрального пика соответствует углу  $\theta = \theta_s = 85$  град. Аналогичные закономерности имеют место для дефектов сферической формы. С изменением размеров дефекта (радиуса и длины образующей цилиндра) амплитуда и длительность УЗ импульса существенно изменяется.

Полученные результаты показывают, что измерения амплитуды и длительности рассеянного УЗ импульса на дефекте круглой или цилиндрической формы позволяют определить их местоположение, размеры и тип заполнения. Использование падающих импульсов сдвиговых УЗ волн предпочтительнее, так как их амплитуды значительно выше, чем продольных.

#### СПИСОК ЛИТЕРАТУРЫ

1. **Лямшев, Л. М.** Оптико-акустические источники звука / Л. М. Лямшев // УФН. – 1981. – Т. 135. – С. 636–669.
2. **Кайно, Г.** Акустические волны. Устройства, визуализация и аналоговая обработка сигналов / Г. Кайно. – М. : Мир, 1990. – 652 с.
3. **Hirose, S.** Ultrasonic Inversion for determining crack size in a solid / S. Hirose // J. of The Faculty of Environmental Science and Technology. – 1997. – V.2. – № 1. – P. 89–98.
4. **Буденков, Г. А.** Динамические задачи теории упругости / Г. А. Буденков, О. В. Недзвецкая. – М. : Физматлит, 2004. – 135 с.